$I_1 = 3.815661$, $I_2 = 0.732388$, $I_3 = 0.517842$, $I_4 = 1.447475$, $I_5 = 1.004651$, $I_4 = 3.513279$, $X_4 = 0.082885$, $Y_4 = 1.482437$, $X_C = 0.000146$, $Y_4 = 0.00037$, $Y_4 = 276.30793$, $\varphi_4 = 298.60984^\circ$

Графики изменения функций ϕ_1 , ϕ_2 и ϕ_4 приведены на рис. 4. Максимальное отклонение чертящей точки ϕ от заданной параболы по оси OY составляет $\max\{2,Y\}=0.738\cdot 10^{-6}$.

ЕрПП ям. К. Мэркса

11 1, 1987

3ՈՒ, Լ. ՍԱՐԳՍՅԱՆ, Կ. Գ. ՈՏԵՓԱՆՃԱՆ, Ս. Ո. ՀՈՐՈՒԹՅՈՒՆՑԱՆ

ՊԻՆԴ ՄԱՐՄԵՒ ՏԵՂԱՓՈԽՈՒՄՆԵՐԸ ԿԱՌԱՎԱՐՈՂ ԱՏԱՄԵԱԼԾԱԿԱՅԻՆ ՄԵԽՍԵՒԶՄԵԵՐԻ ԲԼՈԿ-ՍՈԴՈՒԼԱՅԻՆ ՀԱՄԱԴՐՈՒԹՅՈՒՆ

Buthahaid

Հոդվածում առաջարկվում է պինդ մարմնի կամայական քվով դիրքեր ժերարատորող ատամնա-լծակային մեխանիզմների Համադրման ընդ Հանուր մեկնուլ Տույց է արվում, որ կամայական կառուցվածքի ատամնա-լծակային ժերանիզմի համադրությունը Հանդում է վերջինիս կառուցվածքային ավելի պարդ տարրերի՝ մողուլների համադրմանը ըստ արբանյակային կետերի տված հետարծի, իսկ այն ներկայացվում է կապված փոփոխականներով ֆունկցիա-ների մոտարկման իսնդրի տեսքով։ Առաջարկվում է այս մոտարկման իսնդրի լուծման պարդերված թվային մեները։

ЛИТЕРАТУРА

1. Саркиеви Ю. Я. Аппрохенмационный спитет механизмон—М. Наука, 1982.—304 с. 2. Гельфанд И. М., Фомин С. В. Вариационное исчисление.—М.: Физматгиз.—1961.—228 с.

Нав АН АрмССР (сер. 1Н), т. Х.І.І., № 1, 1988

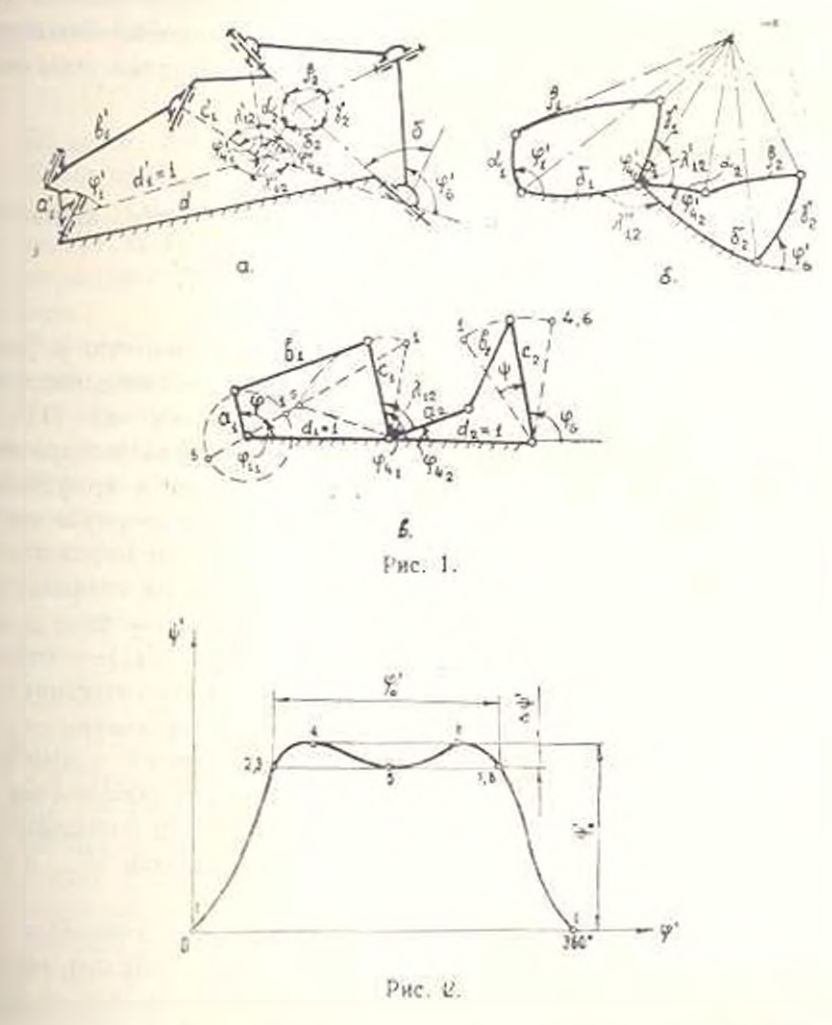
МАНЛИНОСТРОЕНИЕ

А. Г. ХАРАТЯН

СИНТЕЗ СФЕРИЧЕСКИХ И ПРОСТРАНСТВЕННЫХ МНОГОЗВЕННЫХ МЕХАНИЗМОВ МЕТОДОМ ПЛОСКОГО МОДЕЛИРОВАНИЯ

В статье [1] свойство кинематической аналогии плоских и сферических четырехзвенников перенесено на многозвенные пространственные механизмы, образуемые последовательным соединением четырехзвенников. В настоящей статье использованием результатов [1] разработаны повые алгоритмы синтеза сферических и пространственных многозвенных механизмов.

Рассмотрим синтез пространственного шестизвенника (рис. 1а), образуемого последовательным соединением плоского и сферического четирехзвенников, у которых выходное звено имеет приближенный выстой в крайнем положении. Задача формулируется следующим образом дана функция перемещения (рис. 2), связывающая угол поворота ф выходного коромысла, отсчитываемый от одного на его крайных положений, и угол поворота ф входного криношипа, отсчитываемый от положения, соответствующего крайнему положению выходного звена; требуется определить параметры кинематической схемы рассматриваемого шестизвенника по условию приближенной реализации ф ф ф (ф). Параметры взаимного расположения входного и выходного осей, т. е. угол 6 % и кратчайшее расстояние между этими осями и считаем заданными.



На ряс. 2 : — ут ил полного размаха выходного коромысла: — проделя ительно съ выстоя выходного коромысла в одном из его крейник исложений; А ' — угловой р выходного коромысла на участ-

ке его приближенного выстоя. Через 1, 2, ..., 8 обозначены характерные точки графика: 1,5 точки минимума функции $\psi' = \psi'(\varphi')$; 4,6 точки максимума функции $\psi' = \psi'(\varphi')$; 2, 3, 7, 8 — пр межуточные точки. При этом. $\psi_3 = \psi_4 = \psi_5 = \psi_6$: $\psi_4 = \psi_5 = \Delta \psi'$.

При спитезе механизма учитываются также дополнительные условия, в число которых входят условия существования кривошина, благоприятные значения углов передачи в первом и во втором составляющих четырехзвенниках, габаритные ограничения.

Свободными параметрами синтезируемого пространственного шестизиенника являются α_2 , β_2 , γ_3 , λ_4 , вычисляемыми— b_1 , c_1 и углы компоновки и пристава.

Для плоского шестизвенника аналогичная задача синтеза решена в
[2]

В пространственном шестизвеннике в его плоском аналоге (рис. 1а. в) при одинаковых входных углах $\varphi' = \varphi_{11} + \varphi$ промежуточные углы также равны между собой: $\varphi'_{41} = \varphi_{41}$, $\varphi'_{42} = \varphi_{42}$, а выходиме углы связаные соотношением

$$\lg \left(|z|/2 \right) = \eta_0 \lg \left(\gamma_0 |2 \right), \tag{1}$$

где 112—постоянный коэффилиент. Связь между углами компоновки такова:

$$\lambda_{12}^2 + \lambda_{12}^2 = 180^\circ \pm \lambda_{12}. \tag{2}$$

Синтез выполняется в следующей последовательности: с учетом дополнительных условий синтеза выбираем значения свободных параметров α_2 , β_2 , γ_2 , δ_2 и по соответствующим формулам из [1] при $\epsilon_2 = 1$ определяем параметры a_2, b_2, c_2, d_2 второго составляющего четы. рехзвенияка плоского моделирующего шестизвенняка и коэффициент пр: для плоского шестизвенника по соответствующей формуле из [2] определяем угол так и по зависимости (1) - угол ф'є: пространственного шестизвенника (угол 🌠 соответствует точке 4 на графике 🌵 = Ф'(Ф)); по заданным ведичинам Д≥ и ц'в вычисляем углы с'бы с'ы ф'65 пространственного шестизвенняка, а по формуле (1) - соответствующие углы фы, фь2, ты илоского моделирующего шести венника; по справочным картам из [2] определяем остальные нараметры— $a_1, b_1,$ сь 🛺 плоского моделирующего шестизвенника, причем в пространственном шестизвеннике— $a_1 = a_1$, $b_1' = b_1$, $c_1' = c_1$; для обеспечения за--со ојашомог с имезо йондохив и новдохи уджем 🖟 винкотрово отопива. отвошения d=-d' cos λ''_{12} находим угол компоновки λ''_{12} , а угол л'12-из уравиения (2).

Процедура синтеза сферического шестизвенника отличается тем, что в сферическом шестизвеннике (рис. 16) и его плоском аналоге (рис. 1в) гангенсы входных половинных углов также связаны постоянным коэффициентом:

$$tg(z_1|2) = \zeta_1 tg(z_1|2), \quad \zeta_1 > 1.$$

Для обеспечения заданной продолжительности выстоя в сферическом шестизвеннике ϕ'_0 синтезируем плоский шестизвенник по углу ϕ_0 , не равному ϕ'_0 . Далее вычисляем углы ϕ_{12} и ϕ_{18} , соответствующие точкам 1 и 8 на графике $\phi = \phi'(\phi)$ для плоского моделирующего шестизвенника.

Связь угла фо с углами ф 12 и пр такова:

$$\varphi_0 = \varphi_{18} - \varphi_{12} = 2 \left[\operatorname{arctg} \left(- \operatorname{ig} - \frac{1}{2} \right) - \operatorname{arctg} \left(- \frac{1}{2} \right) \right]$$
 (3)

По уравнению (3) из условия обеспечения заданного угла φ'_0 находим \mathfrak{c}_1 , а по соответствующим формулам из [11 — нараметры \mathfrak{c}_1 , \mathfrak{d}_1 , \mathfrak{d}_1 , \mathfrak{d}_1 .

Для обеспечения заданного угла 8 между входной и выходной осями воспользуемся теоремой косиячеся для сферических греугольников:

$$\cos \delta = \cos \delta_1 \cos \delta_2 + \sin \delta_1 \sin \delta_2 \cos \delta_2$$

Из этого уравнения определяем λ''_{12} , а λ'_{12} —из уравнения (2).

После проектирования механизмов проверяется выполнение дополнительных условий синтеза. На алгоритмическом языке «Фортран—1V» составлена программа синтеза пространственного и сферического шестизвенников е приближенным выстоем выходного звена в крайнем положении.

Пример 1. Спроектировать пространственный и сферический шестизвенники с приближенным выстоем выходного звена в крайнем положении. Заданы: $\phi'_0 = 150^\circ$. $\psi'_0 = 15$. $\Delta z = 20$. 4 также параметры
взаимного расположения входного и выходного осей: для пространственного шестизвенника— $\delta = \delta_2 = 96^\circ$. d = 0.9; для сферического шестизвенника— $\delta = 130^\circ$.

Синтезированные механизмы имеют следующие параметры: пространственный пестизвеннык = 0.304757, = 0.649031, ϵ' = 0.825480, 119,26856, = 205,81193, ϵ_1 = 14, β_2 = 82, = 11, = 96: | отыпа пестизвеннык — ϵ_1 = 12.54171°, ϵ_1 = 24,20742, ϵ_1 = 36,71161, ϵ_2 = 43,38023, ϵ_{12} = 114,59509, = 213,92175, ϵ_2 = 14, ϵ_3 = 82

На базе известных процедур синте а плоских восьмизвенных мехавизмов [3] разработаны алгоритмы проектирования сферических восьмизвенных механизмов с одной и двумя илительными выстоями выходного звена в крайних положениях. Разработаны также алгоритмы синтеза сферических шестизвенников — углом размаха выходного коромысла, разным или больше 180°, без выстоя или с выстоем последнего в одном из крайних положений. Эти механизмы состоят из двух четырехзвенников—криношипно-коромыслового и звухкоромыелового.

Опнием алгоритм синтеза сферического щестизвенника с углом размаха выход по исиа разним 180°, и приближенным выстоем последнего в кратием полежении Синт з проводится в 2 этапа. На первом этапе по известной методике [4] просктируем плоский моделирующий четырехзвенник, затем по соответствующим формулам из [1] при η₂=1 и произвольном ξ_2 находим параметры α_2 . β₂, γ₂, δ₂ его сферического аналога, который преобразует малый размах промежуточного коромыела в угол размаха выходного звена, равный 180°, с приближенным выстоем в одном из крайних положений.

На втором этапе по соответствующим формулам из |2| определяем нараметры первогт поского моделирующего четырехзвенника a_1,b_1,c_1 и угол компоновки \sim . По заданной продолжительности выстоя сферического пестизвенника с помощью уравнения (3) определяем коэффициент ξ_1 и по соответствующим формулам из [1] при $\eta_1 = 1$ и полученном вычисляем параметры α_1 , β_1 , γ_1 , δ_1 . Угол компоновки равен: $\lambda'_{12} = \lambda_{12}$ при $\lambda''_{12} = 180^\circ$.

Пример 2. Спроектировать сферический шестизвенник для воспроизведения возвратного вращательного движения выходного звена с углом размаха 180° и выстоем последнего в крайнем положении, причем, длительность выстоя задается углом выстоя $\phi'_0 = 130^\circ$, а точность выстоя—допускаемым отклонением от положения выстоя $\Delta b_{\rm tot} = 1.3^\circ$.

Синтемированный механиям определяется следующими параметрами: $\alpha_1 = 14.82047^\circ$, $\beta_4 = 24.16988^\circ$, $\gamma_1 = 25.19576^\circ$, $\delta_4 = 32.08862^\circ$, $\lambda'_{12} = 225.02952^\circ$, $\alpha_2 = 42.30096^\circ$, $\beta_2 = 18.32119^\circ$, $\gamma_4 = 14.21365^\circ$, $\delta_2 = 32.04776^\circ$.

Механизм имеет благоприятные значения углов передачи, которые меняются в днапазоне [34°; 145°].

Расчетом установлено, что сферические многозвенные механизмы превосходят илоские по возможностям реализации углов размаха более 180° и длительных выстоев выходных звеньей при меньших габаритах и лучших показателях статической передачи сил.

Кир. фил. ПрИИ им. К. Маркса.

25, 11, 1986

U. B. WUNUSSUN

ԳՆԴԱՅԻՆ ԵՎ ՏԱՐԱԾԱԿԱՆ ՔԱԶՄՕՂԱԿ ՄԵԽԱՆԻԶՄՆԵՐԻ ՆԱԽԱԳԾՈՒՄԸ ՀԱՐԹ ՄՈԳԵԼԱՎՈՐՄԱՆ ՄԵԹՈԳՈՎ

Ա մ փոփում

Հարի և տարածական բազմաուրվագծային մեխանիզմների վերջավոր տեղափոխությունների համանմանության հիման վրա, օգտվելով հարթ մոդեւավորող միխանիզմների նախագծման հայտնի ընթացակարգերից, մշակված են բնդային և տարածական բաղմօղտկ մեխանիզմների նախագծման նոր ալդորիցմներ ելջի օղակի ծայրային դիրթում երկարատև կանգառներով և մեծ Հուհի անկյուններով հետադարձ տատական շարժման վերարտադրության հաշման։

ЛИТЕРАТУРА

- 1. Capsacks Ю. Л., Хараткя А. Г. Об аналогии конечных перемещений илоских и пространственных многоконтурных •механизмов //Изв. АН АрмССР Сер. ТИ. 1984. Т. XXXVII. № 4.—С. 3—8.
- 2. Пейсах Э. Е. Справочные карты по синтезу шаринряого шестновенника //Механика машин.—М.: Наука, 1974.—№ 44. С. 125—139.
- Герогименко Р. Л. Аналитико-оптимизационный синтез восымизвенных плоских шариирных механизмов с одной или двумя приближенными остановками выходного звена: Дис. капл. тех. паук.—Л., 1983.—247 с.
- 4 Макария С. М. Об одном шариприом механизме е поворотом педом яго звена на 180°//Машиноведение.—1969 № 4. С. 40—47.

Нав АН АрмССР (сер. 111), т. XLI., № 1, 1988

МАНГИНОСТРОЕНИЕ

Р. П. ДЖАВАХЯН, В. Г. АРАКИЛЯН

ЧАСТИЧНОЕ ДИНАМИЧЕСКОЕ УРАВНОВЕШИВАНИЕ МЕХАПИЗМОВ

Полнос динамическое уравновешивание механизмов реализуется: — применением сдвоенных механизмов, расположенных центрально-симметрично [1];

- —сообщением уравновешивающим противовесам илоско-параллельного движения путем их выполнения в виде сателлитов, шарнирно установленных на ивеньях механизма и зацепляющихся с колесами, которые установлены на смежных звеньях [2];
- —применением особых шатунов, центр качания которых совмешен с одним из его шарипров, позволяющим сводить задачу уравновешивания механизмов к задаче уравновешивания пращающихся звеньев [3].

Известные методы полного динамического уравновешивания связаны с необоснованными усложнениями конструкции механизма [1, 2], которые приводят к значительному увеличению общей массы механизма, динамического момента на валу его входного звена и динамических реакций [3]. Поэтому на практике предпочтение отластся методам частичного динамического уравновешивания [4-7], сочетающим частичное силовое (статическое) уравновешивание с частичным моментным уравновешиванием [4, 5] или полное силовое уравновешивание с частичным моментным уравновешиванием [6, 7]. Первый метод реализуется либо одновременной минимизацией среднеквадратических значении (СКЗ) главного вектора и главного момента [4], либо уравновешиванием их первых гармоник [5]. Второй метод реализуется минимизацией СКЗ главного момента [6] или уравновешиванием его первой гармоники [7].

В данной работе развит второй метод частичного динамичес ого урависвенивания механизмов, основанный, с одной стороны, на известном принципе независимости свойства статической уравновени и-